

873307  
RJCL  
14

# 公路工程参考资料

第十四輯

人民交通出版社

# 公路工程参考資料

(第十四輯)

人民交通出版社

本輯系有关鋼筋混凝土箱形薄壁梁桥的計算与試驗的专輯。內容主要为：开口及閉口薄壁杆件的計算理論，以及箱梁的計算例題和装配簡支梁桥的立体計算例題等；此外，还介紹了一座四綫桥的模型試驗。

本書可供桥梁工程技术人员、科研工作者及有关院校的师生阅读参考。

## 公路工程參考資料 (第十四輯)

\*

人民交通出版社出版  
(北京安定門外和平里)

北京市書刊出版业营业許可証出字第〇〇六号

新华书店北京发行所发行 全国新华书店經售  
人民交通出版社 印刷厂 印刷

\*

1965年6月北京第一版 1965年6月北京第一次印刷

开本：787×1092 $\frac{1}{2}$  印张：5 $\frac{1}{2}$ 张 插页1

全書：112,000字 印数：1—2,300册

统一書号：15044·1497

定价(科六)：0.70元

# 目 录

- 开口薄壁杆件計算理論 ..... 吳明東 (1)  
閉口薄壁杆件計算理論 ..... 吳明東 (17)  
箱形薄壁梁計算例題 ..... 吳明東 (38)  
裝配簡支梁窄橋立體計算  
(按開口截面剛性梁) 例題 ..... 契爾毅 (58)  
閉口箱形薄壁梁橋的扭轉計算與應力分析  
..... 同濟大學橋梁教研組 (范立础整理) (64)  
箱形薄壁四線橋模型試驗 ..... 張士鑠 (114)  
變截面連續箱梁橋的立體應力分析 ..... [日本] 小松定夫 (148)

# 开口薄壁杆件計算理論

吳明東

偏心荷載經常作用在橋梁結構中，因此結構不仅产生平面弯曲，而且还同时产生扭轉，根据力的叠加原理，可以将偏心荷載分化为两部分：一部分即豎向荷載作用在弯曲中心上，此部分使結構只产生弯曲，不发生扭轉；另一部分即外扭矩，其值等于荷載与該荷載到弯曲中心的距离的乘积；此外扭矩使結構产生扭轉，由于結構連杆的限制，使結構处于复杂受力状态——弯扭状态。

最后結構中的应力为以上两部分应力之和。

## 一、开口截面薄壁杆件的扭轉計算

为了說明理論的概念，試看工字型悬臂梁被外扭矩  $L$  扭轉的情形，在外扭矩的影响下，工字梁的翼緣板将产生相反的水平面上的弯曲。在未加扭矩前，位于同一橫截面上的平面內各点 a、b、c、d 受扭后将占有如图 1-1 所示的位置，它們已不再

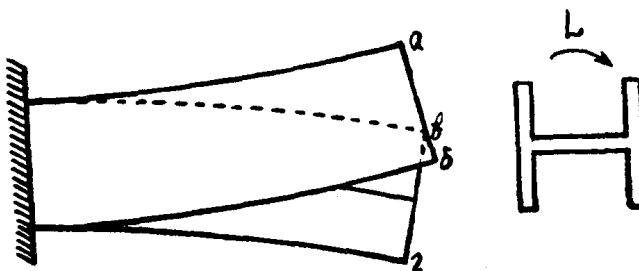


图 1-1

在同一平面。平面已經翹曲了。因該翹在悬臂端，橫截面可以自由的凹凸（纵向），所以正应力为零。但是在固定端該翹曲受到了阻碍，因此引起了正应力。并且同时产生了为弯曲变形所具有的附加切应力。因为这些正应力和切应力都是由于杆件受扭后产生弯曲变形所引起的，由此分析得知，在所研究的杆件中存在着三种应力。其分布如下。

1) 自由扭轉产生的切应力 ( $\tau_k$ )，其值可按材料力学一般公式計算，

$$\tau_k = \frac{M_k \cdot \delta}{J_k} \quad (1)$$

式中： $M_k$ ——自由扭矩，其值尚属未知；

$J_k$ ——自由扭轉时的抗扭慣性矩  $J_k \approx \sum \alpha' b \delta^3$ ，系数  $\alpha$  值决定于各矩形高寬之比；

$\delta$ ——被研究那一点处板的厚度。

2) 弯扭切应力 ( $\tau_\omega$ ) 由于約束扭轉，杆件产生弯曲变形所引起的，它与弯扭正应力 ( $\sigma_\omega$ ) 相适应，其分布类似普通的弯曲切应力，該值可用儒拉夫斯基方法来計算，若以切力  $Q$  来表示，同时注意到切力  $Q$  构成力偶  $M_\omega = Q \cdot h$ 。此力偶 我們称为弯曲扭矩。

3) 弯扭正应力 ( $\sigma_\omega$ )，由杆件受約束扭轉后，因橫截面凹凸，纵向纖維之伸縮受到阻碍时所产生的正应力。

以上所分析的現象称为約束扭轉。因为横截面上各点的纵向变形是被某些連杆所約束或限制的。由图1-2a看出，自由扭轉产生的切应力，在截面厚度內其方向相反，所以沿截面中綫其切应力值为零，也就是說自由扭轉杆件的截面中央面上沒有剪切变形。實驗証明弯扭切应力 ( $\tau_\omega$ ) 值不大，但因力臂 ( $h$ ) 頗长，故由弯扭切应力所构成的弯扭力偶 ( $M_\omega$ ) 将会相当大。

因此，就可以假設：約束扭轉時，薄壁杆件截面的中央面上剪切變形為零。其次又假設：截面雖然產生縱向的凹凸，但其截面在平面上的投影仍保持不變，也就是說截面像剛性盤一樣，發生轉動。約束扭轉時薄壁杆件截面之外形不變，這一假設可用適當的條件或沿跨長設置一些隔板等構造措施來保證。

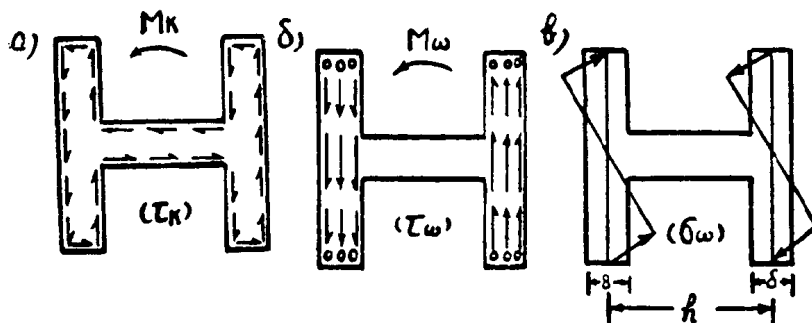


图 1-2

### (一) 开口截面薄壁杆件扭轉时的变形和应力

我們研究具有任意曲線周邊形狀的開口截面薄壁杆件的變形（圖1-3）。

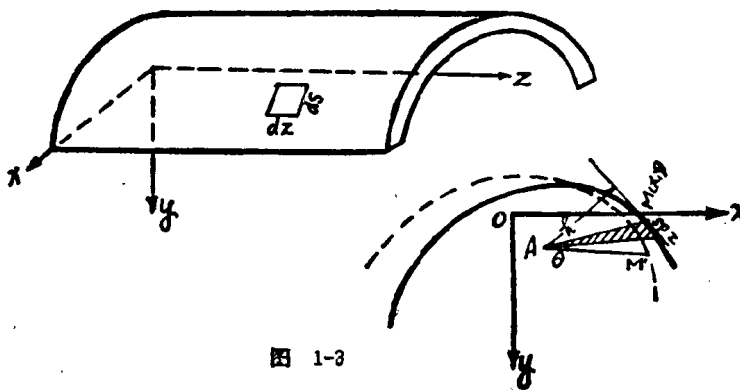


图 1-3

設已知弯曲 中心  $A_{(x_0, y_0)}$ , 截面扭轉角  $\theta$  則根据周边不变的假設, 任意点  $M_{(x, y)}$  的切向位移  $v$ :

$$v = h\theta(z) \quad (2)$$

式中:  $h$ —由弯曲中心  $A$ 至切線的垂距;

$\theta(z)$ —約束扭轉时截面  $z$  处的扭角。

同时由于假設开口截面薄壁杆件的截面中央无剪力变形, 所以根据图 1-4 求得  $M$  点之角变位:

$$\gamma = \alpha + \beta = \frac{du}{ds} + \frac{dv}{dz}$$

$$\text{但, } du = \frac{\partial u}{\partial s} ds, \quad dv = \frac{\partial v}{\partial z} dz \quad (3)$$

$$\text{所以 } \gamma = \frac{\partial u}{\partial s} + \frac{\partial v}{\partial z} = 0$$

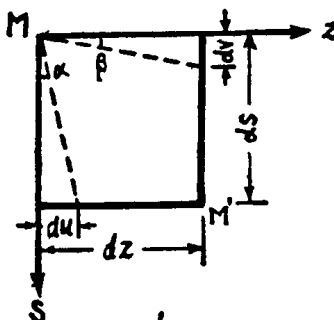


图 1-4

解方程(3)并对  $s$  进行全部积分:

$$\begin{aligned} u(z) &= u_0(z) - \int_0^s \frac{\partial v}{\partial z} ds = u_0(z) - \int_0^s \theta' h ds \\ &= u_0(z) - \theta' \omega \end{aligned} \quad (4)$$

相对变形:

$$\epsilon_s = \frac{\partial u}{\partial z} = u'_0(z) - \theta'' \omega \quad (5)$$

式中:  $\omega = \int_0^s h ds$ —称为属性座标, 其值为弧扇形面积的两倍 (見图 1-3 的阴綠部分), 設纵向纤维无相互挤压, 則由虎克定律求得正应力表达式:

$$\sigma_{\omega} = E\varepsilon_z = E[u'_0(z) - \theta''\omega]$$

因被研究的构件仅有外扭矩作用，代入平衡条件：

$$N_s = 0$$

$$M_x = 0$$

$$M_y = 0$$

并选定計算扇性座标的极点和計算起点，使：

$$\begin{aligned}\int_F \omega dF &= 0 \\ \int_F \omega x dF &= 0 \\ \int_F \omega y dF &= 0\end{aligned}\quad (5')$$

則： $u'_0(z) = 0$

所以  $u_0(z) = \text{常数}$ ，因此弯扭正应力：

$$\sigma_{\omega} = -E\theta''\omega \quad (6)$$

列出所謂雙力矩表达式：

$$B_z = \int_0^s \sigma_{\omega} \omega dF = -E\theta'' \int_0^s \omega^2 dF = -EJ_{\omega}\theta'' \quad (7)$$

式中： $J_{\omega}$ ——称为扇形慣性矩，因它仅与截面形状和尺寸有关，且与弯曲时之慣性矩  $J_x = \int_F y^2 dF$  的形式相似故命名之。

雙力矩的符号，当視線从极点  $A$  沿径向看出时，雙力偶反时針旋轉者为正，順时針旋轉者为负。将(6)式代入(7)式，得到扇性正应力的表达式：

$$\sigma_{\omega} = -\frac{B_z \omega}{J_{\omega}} \quad (\text{与弯曲时之应力 } \sigma = \frac{Mz}{J_x} \text{ 相似}) \quad (8)$$

約束扭轉时的切应力計算，为此可研究在任意点  $M_{(x,y)}$  处之

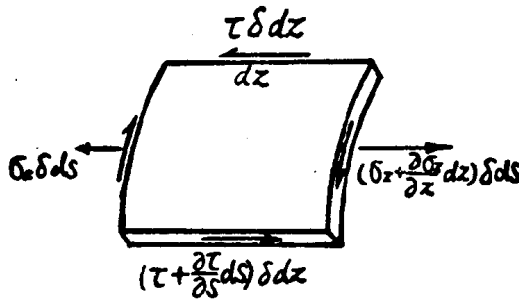


图 1-5

微元  $ds \times dz$  的平衡 (見圖 1-5)。

設截面厚度  $\delta = \text{常数}$ , 則得平衡方程式:

$$\frac{\partial \sigma_x}{\partial z} + \frac{\partial \tau}{\partial s} = 0$$

积分之:

$$\begin{aligned} \tau &= \tau_0 - \int_0^s \frac{\partial \sigma_x}{\partial z} ds = \tau_0 - \int_0^s \frac{B'_z}{J_\omega} \omega ds \\ &= \tau_0 - \frac{B'_z}{J_\omega \delta} \int_0^s \omega \delta ds = \tau_0 - \frac{B'_z S_\omega}{J_\omega \delta} \\ &= \tau_0 - \frac{M_\omega S_\omega}{J_\omega \delta} = \tau_0 + \tau_\omega \end{aligned} \quad (9)$$

式中:  $\tau_0$  —— 初始切应力, 因在开口截面表面上无荷载, 所以

$$\tau_0 = 0;$$

$$S_\omega = \int_0^s \omega \delta ds = \int_0^s \omega dF —— \text{称为属性静力矩;}$$

$M_\omega = \frac{dB}{dz}$  —— 称为弯扭力矩；

$$\tau_\omega = -\frac{M_\omega S_\omega}{J_\omega \delta} \quad \text{—— 弯扭切应力。} \quad (9')$$

式(9')与一般弯曲时之切应力公式 ( $\tau = \frac{QS}{bz}$ ) 相似， $\tau_\omega$  我们称为弯扭切应力。其方向，当对弯曲中心逆时针旋转者为正，顺时针旋转者为负。

(二) 开口截面薄壁杆件约束扭转时的扭角微分方程式  
显然，杆件截面上之内扭力矩应该与外扭力矩平衡。

则：  $L = M_k + M_\omega \quad (10)$

式中：  $L$  = 截面上的外扭力矩；

$M_k = G J_k \theta'$  —— 即自由扭转力矩为截面上的内扭力矩的一部分；

$M_\omega = \frac{d B_z}{d z} = -E J_\omega \theta'''$  —— 即约束扭转产生的弯扭力矩，

是截面上的内扭力矩的另一部分。

将  $M_k$ 、 $M_\omega$  的转角表达式代入平衡方程式(10)，并对  $z$  一次微分，令  $\frac{dL}{dz} = m$ ，则：

$$E J_\omega \theta''' - G J_k \theta'' = -m,$$

$$\theta''' - K \theta'' = \frac{-m}{E J_\omega} \quad (11)$$

式中： $K = \sqrt{\frac{G J_k}{E J_\omega}}$  —— 称为弹性弯曲扭转特性。

微分方程(11)的解，可以首先积分齐次方程：

$$\theta''' - K^2 \theta'' = 0 \quad (12)$$

与其相适应的特性方程式：

$$r^4 - K^2 r^2 = 0$$

其根为： $r_1 = 0, r_2 = 0, r_3 = K, r_4 = K$ 。

齐次微分方程(12)的积分，可以写成如下的形式：

$$\theta = c_1 + c_2 Z + c_3 \sinh KZ + c_4 \cosh KZ \quad (13)$$

依次列出导数：

$$\left. \begin{array}{l} \theta' = c_2 + K(c_3 \cosh KZ + c_4 \sinh KZ) \\ \theta'' = K^2(c_3 \sinh KZ + c_4 \cosh KZ) \\ \theta''' = K^3(c_3 \cosh KZ + c_4 \sinh KZ) \end{array} \right\} \quad (14)$$

因为  $\theta'' = -\frac{B_z}{EJ_\omega}, K = \sqrt{\frac{GJ_k}{EJ_\omega}}$  因此可由方程(14)求得：

$$B_z = -GJ_k(c_3 \sinh KZ + c_4 \cosh KZ) \quad (15)$$

又因  $L = GJ_k \theta''' - EJ_\omega \theta''$ ,  $K = \sqrt{\frac{GJ_k}{EJ_\omega}}$  及方程(14)求得：

$$L = GJ_k c_2 \quad (16)$$

应用初始值，令  $Z = 0$  时，(13)~(16)式中之  $\theta, \theta', B_z, L$  之值为  $\theta_0, \theta'_0, B_{z0}, L_0$ ，则：

$$\theta_0 = c_1 + c_4, \quad \theta'_0 = c_2 + Kc_3$$

$$B_{z0} = -c_4 GJ_k, \quad L_0 = c_2 GJ_k$$

由此求得积分常数  $c_1, c_2, c_3, c_4$  以初始值表达的公式：

$$c_1 = \theta_0 + \frac{B_{z0}}{GJ_k}; \quad c_2 = \frac{L_0}{GJ_k}; \quad c_3 = \frac{1}{K} \left( \theta'_0 - \frac{L_0}{GJ_k} \right);$$

$$c_4 = -\frac{B_{z0}}{GJ_k}.$$

把这些积分常数代入(13)~(16)式，同时注意到齐次方程

的特解， $m = \frac{dL}{dZ}$  就是集中力矩  $L_0$  的影响函数的积分值，由此可組成影响函数表（表1-1）。

表 1-1

|             | $L_0$                         | $B_0$                       | $\theta'_z$                | $\theta_0$ | $m = \text{常数}$  |
|-------------|-------------------------------|-----------------------------|----------------------------|------------|--|
| $\theta_z$  | $\frac{KZ - \sinh KZ}{KGJ_K}$ | $\frac{1 - \cosh KZ}{GJ_K}$ | $\frac{\sinh KZ}{K}$       | 1          | $\frac{(KZ)^2}{2} + 1 - \cosh KZ$<br>$\frac{K^2 G J_K}{K^2 G J_K}$ |
| $\theta'_z$ | $\frac{1 - \cosh KZ}{GJ_K}$   | $-\frac{K}{GJ_K} \sinh KZ$  | $\cosh KZ$                 | 0          | $\frac{KZ - \sinh KZ}{KGJ_K}$                                      |
| $B_z$       | $\frac{\sinh KZ}{K}$          | $\cosh KZ$                  | $-\frac{GJ_K}{K} \sinh KZ$ | 0          | $\frac{\cosh KZ - 1}{K^2}$   |
| $L_z$       | 1                             | 0                           | 0                          | 0          | $Z$  |

今举例說明表1-1之应用：設  $Z=0$  时，四个初始值皆不为零，如图1-6。

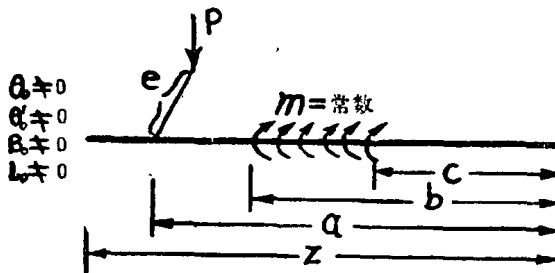


图 1-6

則扭轉角  $\theta_z$  的一般表达式如下：

$$\begin{aligned}\theta_z &= \theta_0 + \theta'_0 \frac{\sinh KZ}{K} + B_0 \frac{1 - \cosh KZ}{GJ_K} + L_0 \frac{KZ - \sinh KZ}{KGJ_K} \\ &\quad + L \frac{Ka - \sinh Ka}{KGJ_K} + \frac{m}{K^2 G J_K} \left[ \frac{K^2 (b^2 - C^2)}{2} \right]\end{aligned}$$

$$+ 1 - \operatorname{ch} Kb + \operatorname{ch} Kc \Big\}$$

其它的三个因素  $\theta_z'$ 、 $B_z$ 、 $L_z$  可仿此列出一般表达式。

其初始值  $\theta_0$ 、 $\theta'_0$ 、 $B_0$ 、 $L_0$  不是都不等于零，它决定于结构的力学图式和受荷状况。结构力学图式主要决定于支承情况，一般梁式支承不外固端、铰支承或悬臂（自由端），其初始值如图1-7所示。

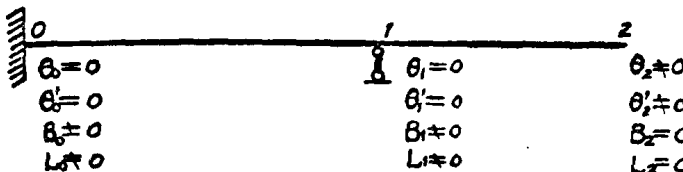


图 1-7

### (三) 主属性特征值的计算和绘制

所谓主属性座标，即该属性座标值是以弯曲中心为极点，以计算零点为起始值，按  $\omega = \int_0^s h ds$  求得的属性座标值。因此，必须确定弯曲中心和计算零点 ( $M_0$ )。所谓主属性座标也可用数学形式表达如下：

$$\left. \begin{aligned} \int_F \omega x dF &= 0 \\ \int_F \omega y dF &= 0 \\ \int_F \omega dF &= 0 \end{aligned} \right\} \quad (17)$$

为此，必须先假定一任意点  $A_{(x_0, y_0)}$  为极点，截面上任意点  $M_{1(x_1, y_1)}$  为计算起点，从而求得辅助属性座标图  $\omega_1$ ；如果我们将重心轴为座标轴  $(x, y)$  则得到弯曲中心的座标及属性

座标的計算起点位置为：

$$a_x = \frac{\int \omega_1 y dF}{J_x}$$

$$a_y = \frac{\int \omega_1 x dF}{J_y}$$

$$\omega_N = \frac{\int \omega_1 dF}{F} \quad (18)$$

当我们有两个对称轴时，弯曲中心为此二轴之交点；当有一个对称轴时，弯曲中心必定在此对称轴上。而计算零点必为对称轴与杆件截面相交的最近点。利用这些特性可帮助我们计算弯曲中心和计算零点，尤其是桥跨结构，它总有一个对称轴（见图 1-9）。任意截面形状的主扇性特征值的计算和绘制在此不再赘述。但必须指出，对任意形状的截面计算起点的改变，使扇性座标值之改变为一常数。图 1-8 就可说明这点。当计算起点由  $M_1$  改变为  $M_0$  时，任

意点  $N$  的扇性座标的改变值为一常数： $\Delta\omega = \omega_N^{M_1} - \omega_N^{M_0} = \text{常数}$ 。

现以桥跨结构中最常用的多肋式截面为例说明扇性座标的计算和绘制（见图 1-9），显然极点  $A$  必定在对称轴  $y$  上而计算

零点必为  $\sigma_1$ ，因它是对称轴与截面相交的最近点。 $x$ 、 $y$  轴为截面的重心轴，假定  $\sigma_1$  为辅助极点以  $\sigma_1$  为计算起点，从此求得辅助扇性座标  $\omega_1$  图及  $x$  座标图。设  $y$  轴上某点  $A_{(x_0, a_y)}$  为弯曲中心，则主扇性座标为：

$$\omega = \omega_1 + x a_y \quad (19)$$

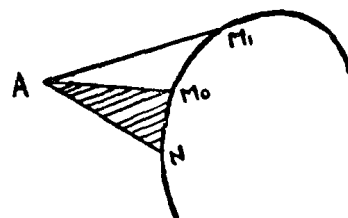


图 1-8

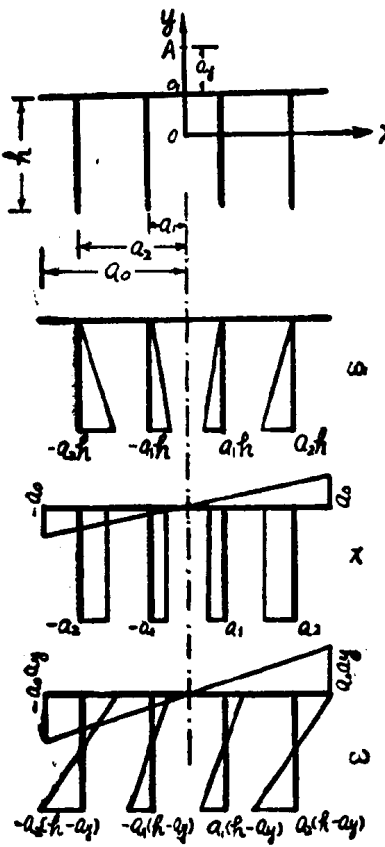


图 1-9

若为主属性座标，则必须满足方程式(17)，则：

$$\int_F \omega y dF = \int_F \omega_1 y dF + \int_F x y a_y dF = 0$$

$$\int_F \omega x dF = \int_F \omega_1 x dF + \int_F x^2 a_y dF = \int_F \omega_1 x dF + J_y a_y = 0$$

$$\int_F \omega dF = \int_F \omega_1 dF + \int_F x a_y dF = 0$$

因为  $x$ 、 $y$  軸是重心軸所以：

$$\int_F xy dF = 0$$

$$\int_F xdF = 0$$

因此：

$$\begin{aligned} \int_F \omega_1 y dF &= 0 \\ a_y &= -\frac{\int_F \omega_1 x dF}{J_y} \end{aligned} \quad (20)$$

$\int_F \omega_1 dF = 0$  此式証明  $\omega_1$  確為計算起点由图1-9 $\omega_1$ 图求得：

$$\begin{aligned} \int_F \omega_1 x dF &= 2h \left[ -\frac{1}{2} (h \cdot a_2 \cdot h) \cdot a_2 + \frac{1}{2} (h_x \cdot a_1 \cdot h) \cdot a_1 \right] \\ &= h^2 (a_2^2 + a_1^2) \delta = h^2 \cdot \Sigma a_i^2 \delta \end{aligned} \quad (21)$$

$$a_y = -\frac{h^2 \Sigma a_i^2 \delta}{J_y} \quad (22)$$

若 T 型梁有不大的下翼緣（或有鋼筋）時，則可假定下翼緣截面積  $F_H$  集中在 T 型梁下端，則：

$$\begin{aligned} \int_F \omega_1 x dF &= h^2 \Sigma a_i^2 \delta + 2F_H \cdot h \cdot \Sigma a_i^2 \\ &= h \Sigma a_i^2 (h \delta + 2F_H) \end{aligned} \quad (23)$$

$$a_y = -\frac{1}{J_y} (h \delta + 2F_H) \cdot h \Sigma a_i^2 \quad (24)$$

求得  $a_y$  后，代入(19)式即可求得所需要的主扇性座標  $\omega$  图（見图 1-9），其餘扇性特征值： $J_\omega = \int_F \omega^2 dF$ ,  $S_\omega = \int_F \omega dF$ , 可以很方便地按主扇性座標图用維力沙金图形相乘法求得。